

Appunti per il corso

"Cosmologia dell'Universo primordiale"

Nicola Bartolo

2018-2019

Orizzonti cosmologici

$$d_H(t) = a(t) \int_0^t \frac{dt'}{a(t')} \quad (1)$$

$d_H(t)$ definisce il raggio di una sfera (centrata all'osservatore 0) entro la quale si trovano l'insieme di punti che sono stati in connessione causale con l'osservatore. In altre parole $d_H(t)$ rappresenta la massima distanza i punti di massima distanza con i quali l'osservatore 0 è entrato in connessione causale.

Come ottenere (1): $ds^2 = 0$ per un segnale di luce.

$$ds^2 = c dt^2 - a^2(t) dl^2$$

$$dl^2 = \frac{dr^2}{1-kr^2} + r^2(d\theta^2 + \sin^2\theta d\phi^2)$$

$$ds^2 = 0 \Rightarrow dl = \int_0^t \frac{cdt'}{a(t')} \Rightarrow \text{proper distance } a(t) \int_0^t \frac{cdt'}{a(t')}$$

Alcune osservazioni:

- si tratta dell'orizzonte per il passato
- se $d_H = \infty$ non c'è orizzonte; se d_H esiste finito la superficie sférica di raggio d_H centrata in 0 si dice "particle horizon" dell'osservatore al tempo t .

■ Espressioni di $d_H(t)$ per le cosmologie standard ($\rho = w\rho$)

$$a(t) \propto t^\alpha$$

$$\alpha = \frac{2}{3(1+w)}$$

$$\Rightarrow d_H(t) = \frac{3(1+w)ct}{1+3w} \sim ct \sim \frac{c}{H(t)}$$

soluzione per $\Omega_w = 1$

$$H(t) = H_0 \frac{t_0}{t} = \frac{2}{3(1+w)t}$$

converge per $\alpha < 1$ in $t=0$,

N.B : $\alpha < 1 \Leftrightarrow w > -\frac{1}{3} \Leftrightarrow \ddot{a} < 0$ per l'eq. di Friedmann

$$\ddot{a} = -\frac{4\pi G}{3}(\rho + 3p)a$$

cioè in un universo ad espansione decelerata l'orizzonte esiste

■ Esempi particolari: - $d_H(t) = 3ct$, per Universo piatto e fatto di polvere ($w=0$) (Einstein-de Sitter)

- $d_H(t) = 2ct$, Universo piatto e fatto di radiazione

□ distinzione fra "particle horizon" orizzonte e "Hubble sphere" (4)

$$R_c = \frac{c}{H}$$

$$\Omega_w=1 \rightarrow H(t) = \frac{2}{3(1+w)t} \Rightarrow R_c = \frac{3}{2}(1+w)ct = \frac{(1+3w)}{2}d_H(t) \sim d_H(t) \quad (w > -\frac{1}{3})$$

N.B.

Definemmo "Hubble time" come tempo caratteristico di espansione dell'Universo

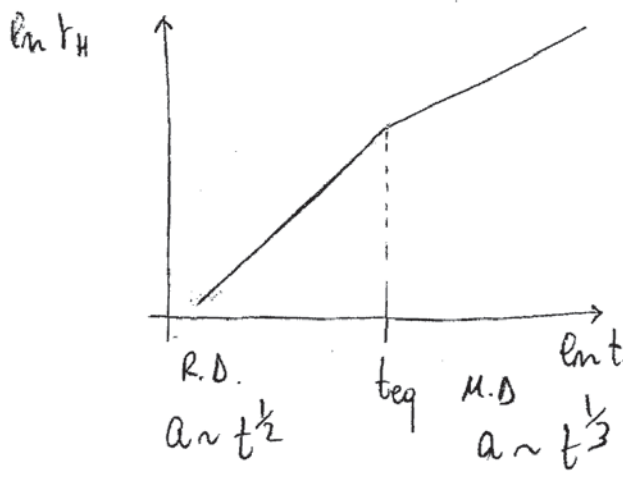
$$R_c = c\tau_H = c\frac{a}{\dot{a}} \quad \tau_H = \frac{a}{\dot{a}} = \frac{1}{H}$$

Importante: sebbene per succede che in un universo piatto $R_c \sim d_H$, "Hubble sphere" e "particle horizon" sono concettualmente diversi.

La differenza è che il "particle horizon" al tempo t , $d_H(t)$, tiene conto dell'intera storia passata dell'osservatore fino al tempo t , mentre il raggio di Hubble tiene conto delle connessioni causali verificate in un tempo di Hubble H^{-1} .

$$r_H(t) = \frac{R_c}{a} = \frac{1}{\dot{a}} \frac{1}{aH} = \frac{1}{\dot{a}}$$

r_H = raggio comovente di Hubble



N.B.

$$\frac{dH(t)}{a} = \int_0^t \frac{dt'}{a(t')} = \int_0^a \frac{da'}{a'} \frac{1}{\dot{a}} = \int_0^a \frac{da'}{a'} \frac{1}{aH} = \int_0^a \frac{da'}{a'} r_H$$

questo mostra che il comoving particle horizon è dato dall'integrale logaritmico del comoving Hubble radius

Osservazioni :

- valori medi locali o globali?
- orizzonte oggi: $d_H(t_0) = ? R_c(t_0) (W=0)$

$$= 2H_0^{-1} = 2 \times 3000 h^{-1} \text{Mpc}$$

Limiti importanti: $\sim 100 \text{Mpc} - 3000 \text{Mpc}$ (vale dove posso adottare R_W)

$H_0 = 67.8 \pm 0.9 \text{ km s}^{-1} \text{Mpc}^{-1}$ (satellite Planck 2015)

N.B.: $\lambda_{phys} = a \lambda_{com}$ in riferimento al grafico di $r_H(t)$.

PROBLEMA dell'ORIZZONTE

Una regione di lunghezza caratteristica λ puo' diventare causalmente connessa solo quando $r_h = \lambda$

Consideriamo gli usuali modelli di Friedmann (caso piatto fa semplicita)

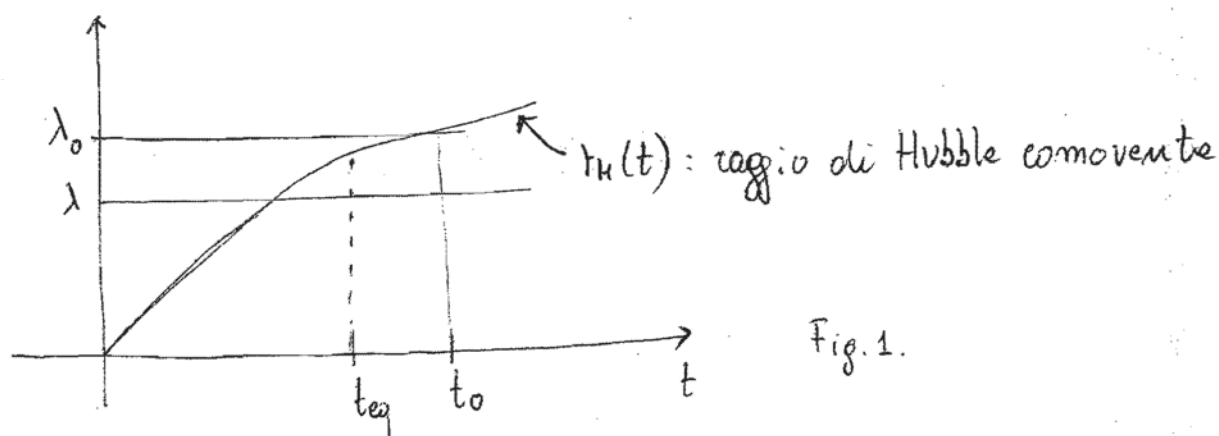


Fig. 1.

$\rightarrow \lambda_c = \text{const}$ - entra nell'orizzonte a un certo $t = t_H(\lambda)$: $\lambda_c = r_H(t_H(\lambda))$.

- Questo vuol dire che processi che si verificano a t non possono connettere causalmente la regione di dimensioni λ fino a $t \leq t_H$ quando

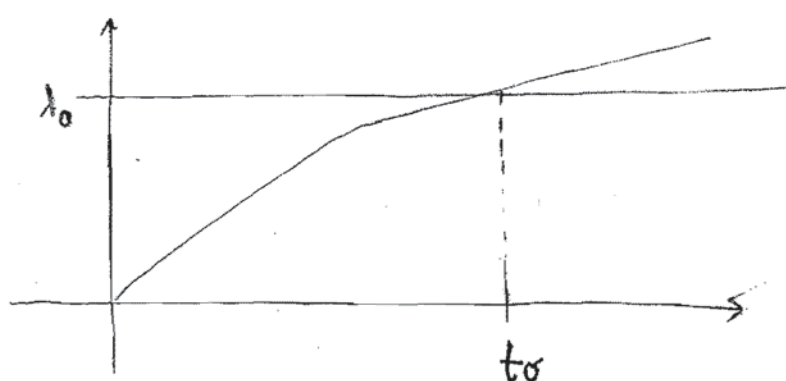
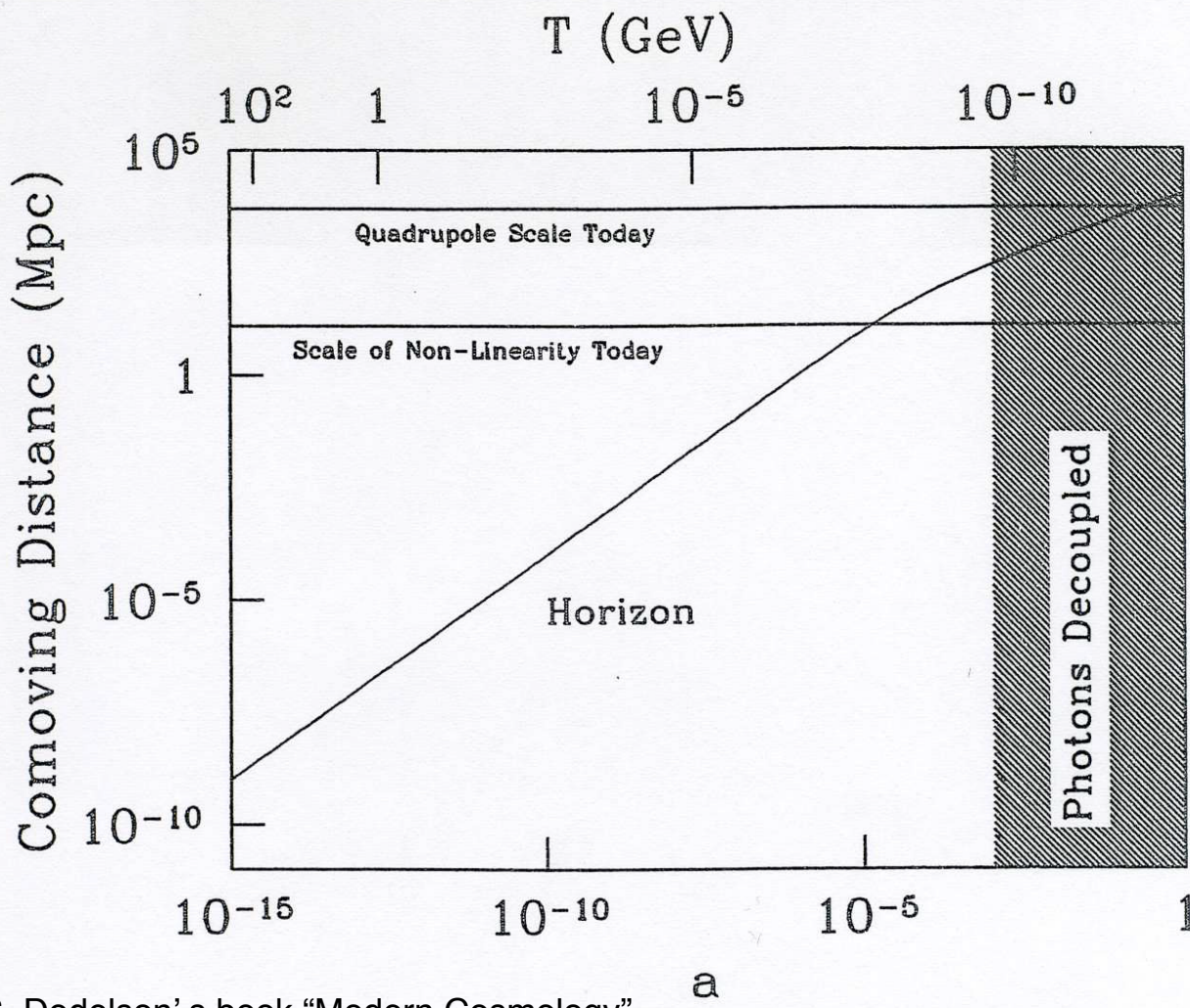


Fig. 2

E quindi il problema dell'orizzonte e' il seguente :

Come mai zone che non erano in connessione causale hanno caratteristiche simili, come l'omogeneita' e l'isotropia, anche se all'epoca non potevano comunicare?

N.B : l'esempio di figura 2 si puo' sufficacemente applicare al caso di long-wavelengths per il CMB - (vedi Dodelson + Fig 6.1)



from S. Dodelson's book "Modern Cosmology"

Figure 6.1. The comoving horizon as a function of the scale factor. Also shown are two comoving wavelengths, which remain constant with time. Early in the history of the universe, both of these modes—as well as all other modes of cosmological interest—had wavelengths much larger than the horizon. The CMB comes from the last scattering surface at $a \simeq 10^{-3}$. At that time, the largest scales (e.g., the one labeled “quadrupole”) were still outside the horizon. The horizon problem asks how regions separated by distances larger than the horizon at the last scattering surface can have the same temperature.

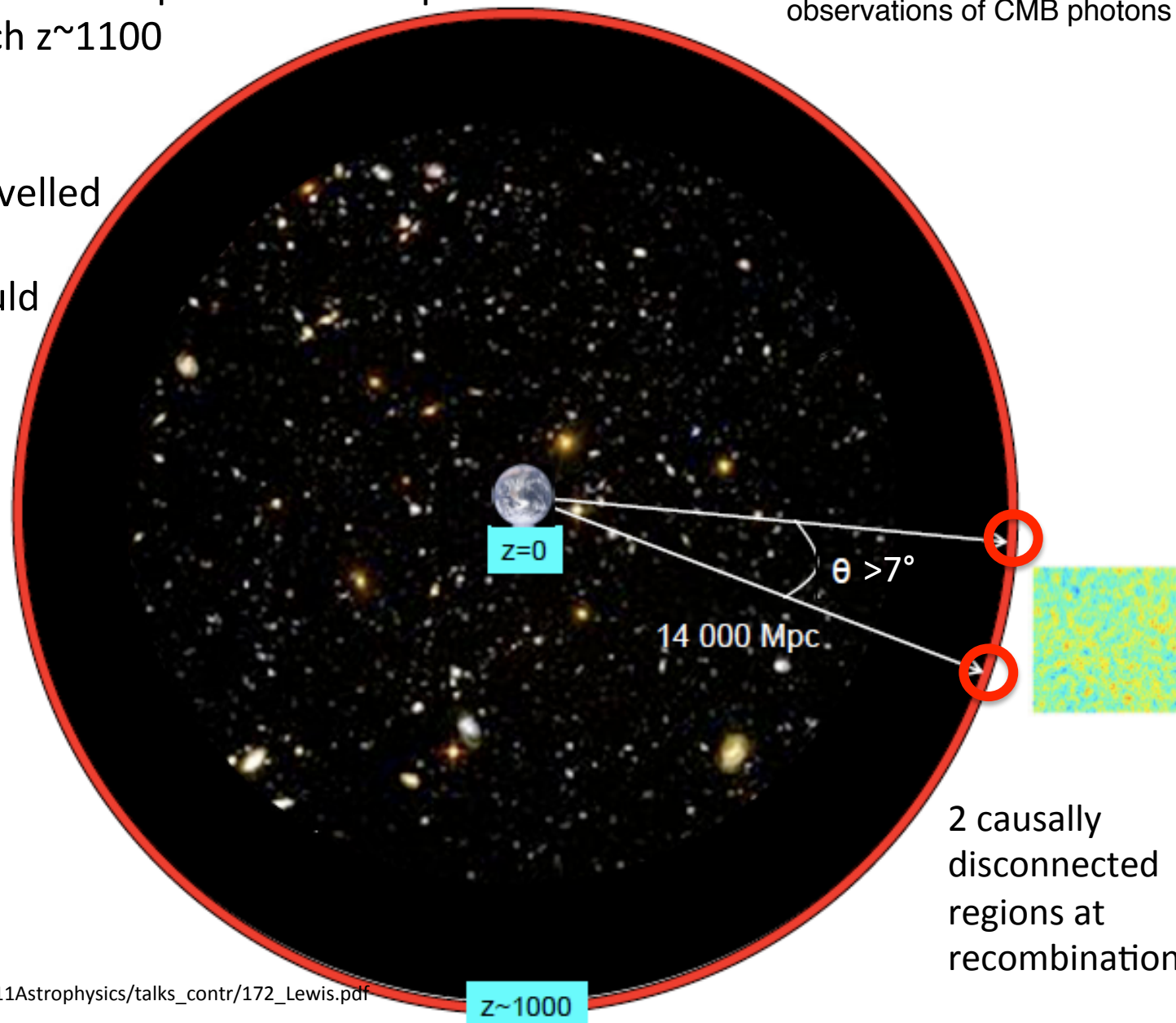
THE HORIZON PROBLEM

Last scattering surface: CMB photons decouple at recombination epoch $z \sim 1100$
($t_r \sim 380,000$ years)

Here we give a viewpoint on the horizon problem which connects directly with observations of CMB photons

Light could have travelled $L \sim c t_r$ (horizon)
Such a distance would subtend an angle of about 1 degree.

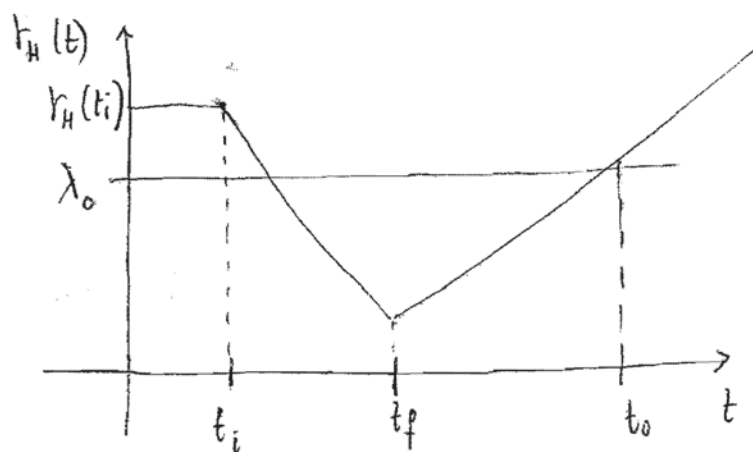
We actually see CMB photons with nearly the same T at bigger angular scales $> 7^\circ$
(e.g. COBE satellite)



2 causally disconnected regions at recombination

SOLUZIONE INFLAZIONARIA :

Posso risolvere i problemi dell'orizzonte pensando che in una prima fase dell'universo r_H sia diminuito



In questo modo le regioni di dimensioni λ entro che entrammo per la prima volta nell'orizzonte, in realtà erano già diventate causalmente connesse durante questa prima fase dell'universo \Rightarrow ho risolto i problemi della connessione causale.

In termini quantitativi:

$$r_H = \frac{1}{\dot{a}} \Rightarrow \dot{r}_H = \left(\frac{1}{\dot{a}} \right)' = - \frac{\ddot{a}}{\dot{a}^2} < 0 \Leftrightarrow \boxed{\ddot{a} > 0}$$

Quindi parleremo di inflessione in tutta generalità quando si ha che $\ddot{a} > 0$; ovvero l'espansione dell'universo prosegue in modo accelerato, cioè l'universo si è fortemente espanso (inflessione gonfiare).

$$\ddot{a} = -\frac{4\pi G}{3}(\rho + 3p)a > 0 \Leftrightarrow \rho < -\frac{1}{3}p \Leftrightarrow w = \frac{p}{\rho} < -\frac{1}{3}, \text{ cioè}$$

pressione negativa e con $p < -\frac{1}{3}\rho$.

N.B.: Per risolvere i problemi dell'orizzonte, non è sufficiente dir

che $\ddot{a} > 0$, ma ciò deve avvenire per un periodo sufficientemente lungo (8)

N.B. : Importante accennare a cosa succede in termini di $\lambda_{\text{phys}} \propto a$, e non solo comoventi.

Una regione di dimensioni $a(t_i) r_h(t_i)$ si "gonfia" di un fattore

$$Z = \frac{a(t_f)}{a(t_i)}$$

$$Z = \frac{a(t_f)}{a(t_i)} = \exp \left\{ \int_{t_i}^{t_f} dt' H(t') \right\} = e^{N_{\text{inf}}} \quad \xrightarrow{\text{n. di e-foldings}}$$

$$N_{\text{inf}} = \int_{t_i}^{t_f} dt' H(t') = \log \left(\frac{a_f}{a_i} \right)$$

$$N = \log\left(\frac{a_f}{a_i}\right) = \int_{t_i}^t H dt$$

Calcolo del n. di e-folds necessario per risolvere
il problema dell'orizzonte (2)

$$\tau_H(t_0) \leq \tau_H(t_i)$$

$$a_0 \tau_H(t_0) = H_0^{-1} \leq \tau_H(t_i) a_0 = \tau_H(t_i) a_i \frac{a_0}{a_i} = H_I^{-1} \left(\frac{a_0}{a_i} \right) \Rightarrow$$

$$\left(\frac{a_i}{a_0} \right) H_0^{-1} \leq H_I^{-1}$$

$$\left(\frac{a_i}{a_f} \right) \left(\frac{a_f}{a_0} \right) H_0^{-1} \leq H_I^{-1} \rightarrow e^{-N} \left(\frac{T_f}{T_0} \right) H_0^{-1} \leq H_I^{-1} \Rightarrow$$

$$10^{13} \text{ GeV}$$

$$N \geq \ln\left(\frac{T_0}{H_0}\right) + \ln\left(\frac{H_I}{T_f}\right)$$

$$10^{-42} \text{ GeV}$$

$$N \gtrsim (60 \div 70)$$

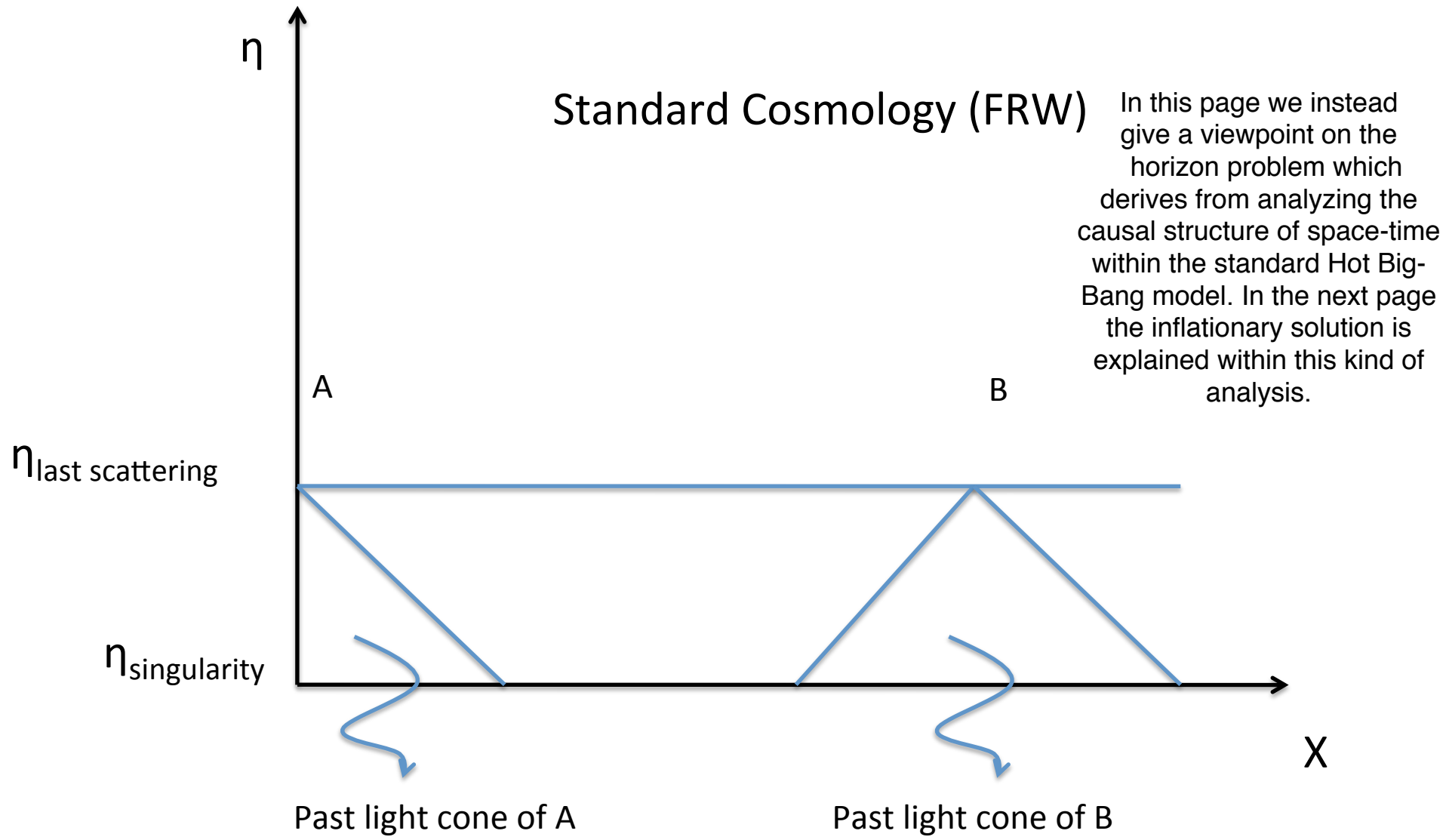
T_f : temperatura di reheating

$$H_I^{-1} \approx \frac{8\pi}{3M_{Pl}^2} \cdot g_* \sim \frac{8\pi}{3M_{Pl}^2} \cdot \frac{1}{30} g_* T^4 \sim \frac{T_f^4}{M_{Pl}^2} \sim \frac{T_f^4}{T_{Pl}^2}$$

$$\Rightarrow N \geq \ln\left(\frac{T_0}{H_0}\right) + \ln\left(\frac{T_f}{T_{Pl}}\right)$$

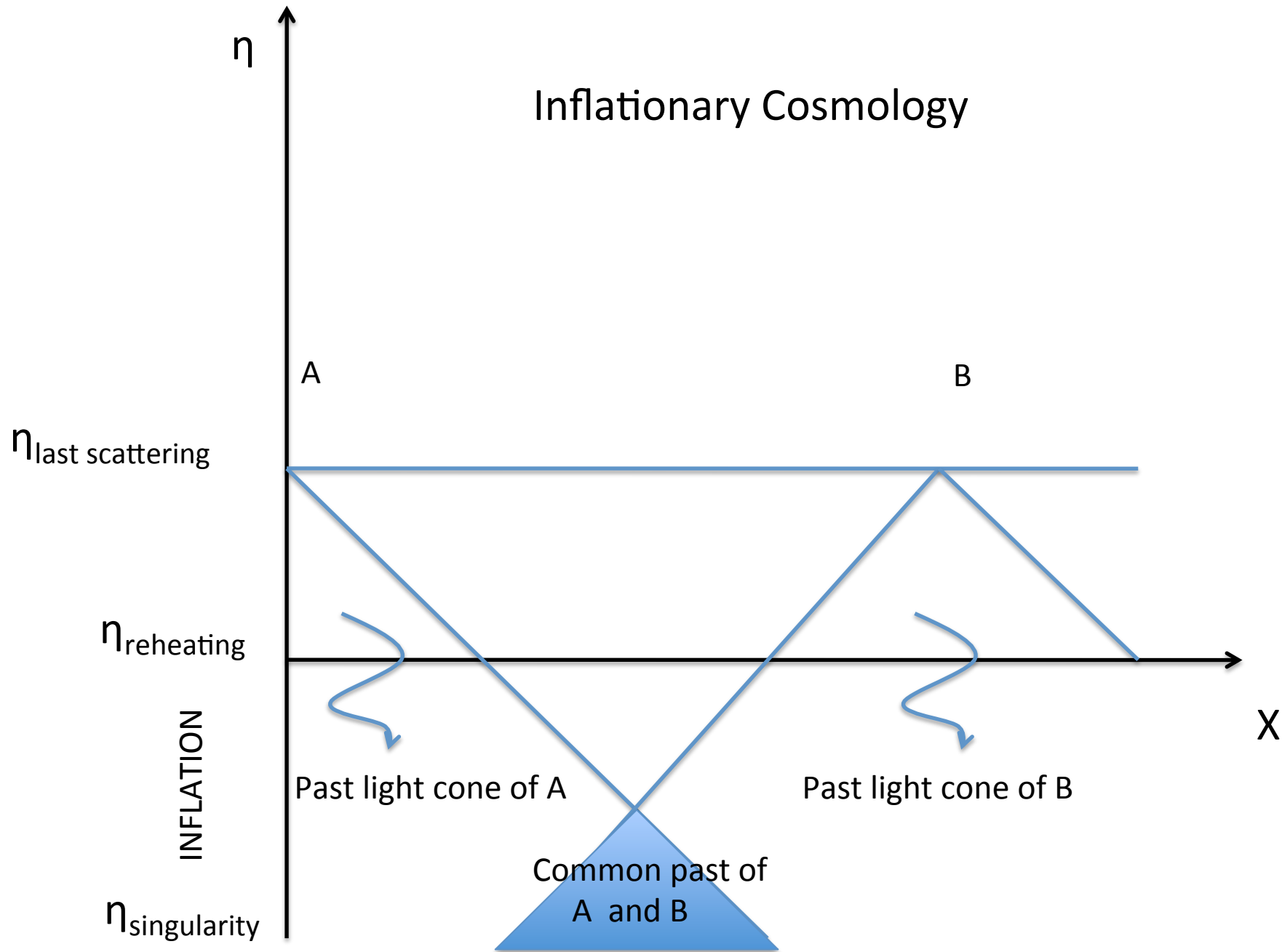
≈ 67 $\in [0, \infty]$ se considero un intervallo $10^5 \leq \frac{T_f}{T_{Pl}} \leq 1$

$$N \geq [56, 67]$$



A and B never communicated with each other

Inflationary Cosmology



Problema della fittazione (modo veloce di impostare il problema e la soluzione)

$$\dot{H}^2 = \frac{8\pi G}{3} \rho - \frac{k}{a^2} \quad (1)$$

$$\dot{\rho} = -3H(\rho + p) \rightarrow (2) \quad \rho \propto a^{-3(1+w)}$$

$$\rho_c = \frac{3H^2}{8\pi G} \quad \Omega(t) = \frac{\rho}{\rho_c} = \frac{3H^2}{8\pi G} \cdot \frac{8\pi G \rho}{3H^2}$$

Quindi, dividendo per H^2 , da (1) ho:

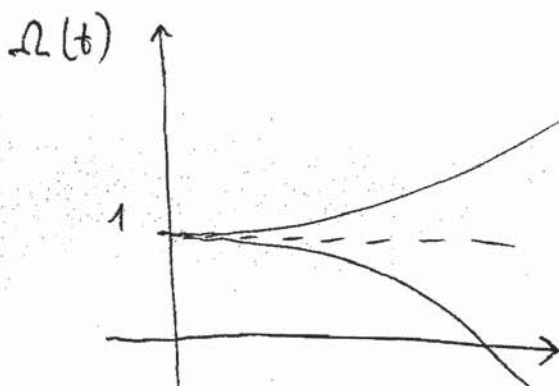
$$\Omega(t)-1 = \frac{k}{a^2 H^2} = \frac{k}{\dot{a}^2} \equiv k r_H^2(t)$$

Se l'univ. è perfettamente fatto $\Omega(t)=1$; se $\Omega(t) \neq 1$ anche la una piccola quantità siccome durante l'epoca dominante dalla rad. adiome e delle matern. $r_H(t)$ cresce, $|\Omega(t)-1|$ cresce col tempo.

(col tempo il paramet. funziona $\propto a$ e k diventa sempre più importante)

$$R.D.: H^2 \propto \rho a^{-3} \rightarrow |\Omega-1| \propto \frac{1}{a^2 \dot{a}^2} = a^2$$

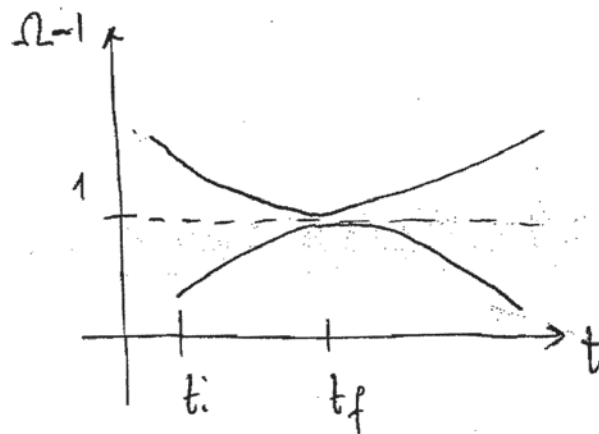
$$M.B.: \rho a^{-3} \rightarrow |\Omega-1| \propto \frac{1}{a^2 \dot{a}^2} = a$$



Soluzione inflazionale per i problemi delle piattezzze:

$$\Omega(t)-1 = k r_H^2(t)$$

durante l'inflazione $\ddot{a} > 0$ e $r_H(t)$ decresce molto rapidamente \Rightarrow



ho un andamento simmetrico & e durante l'inflazione $|\Omega - 1|$ viene schiacciato molto vicino allo zero

Ricordiamo i limiti osservativi più recenti sul $-(\Omega_0 + 1) = \Omega_k = -\frac{K}{a^2 H^2}$:

$|\Omega_k| < 0.005$ (95% C.L.), quindi diciamo $|\Omega_k| < 10^{-2}$ (95% C.L.)

Dalla equazione di constraint di Friedmann è utile ricavare la Eq.(*)

$$\ddot{a}^2 = \frac{8\pi G}{3} \rho a^2 - k = \Omega(t) \cdot \dot{a}^2 = \frac{k}{a^2 H^2} = \frac{k}{\dot{a}^2}$$
$$k + \dot{a}^2 = \frac{8\pi G}{3} \rho a^2$$

$$\frac{8\pi G}{3} \rho a^2 = \Omega(t) \cdot \dot{a}^2 = \Omega(t) \cdot \frac{k}{\dot{a}^2} \Rightarrow \Omega(t) \sim 1$$

$$(1 - \Omega^{-1}) \cdot \rho \dot{a}^2 = \text{cost.}$$

$$\boxed{(\Omega^{-1} - 1) \rho \dot{a}^2 = \text{const}} = (\Omega_0^{-1} - 1) \rho_0 a_0^2 \quad (*)$$

$t \ll t_{\text{eq}}$:

$$(\Omega^{-1} - 1) \cdot \rho_{\text{eq}} \left(\frac{a_{\text{eq}}}{a} \right)^4 \cdot \frac{\dot{a}^2}{a_0^2} \cdot \frac{1}{\rho_0} = (\Omega_0^{-1} - 1)$$

$$\rho_{\text{eq}} = \rho_0 \left(\frac{a_0}{a_{\text{eq}}} \right)^3$$

$$(\Omega^{-1} - 1) \cdot \rho_0 \left(\frac{a_0}{a_{\text{eq}}} \right)^3 \cdot \left(\frac{a_{\text{eq}}}{a} \right)^4 \cdot \frac{\dot{a}^2}{a_0^2} \cdot \frac{1}{\rho_0} = (\Omega_0^{-1} - 1)$$

$$(\Omega^{-1} - 1) \frac{a_0 \cdot a_{\text{eq}}}{a^2} = (\Omega_0^{-1} - 1)$$

$$(\Omega^{-1} - 1) = (\Omega_0^{-1} - 1) \frac{a^2}{a_0 \cdot a_{\text{eq}}} = (\Omega_0^{-1} - 1) \cdot (1 + z_{\text{eq}})^{-1} \cdot \left(\frac{T_0}{T} \right)^2$$

$$(1 + z_{\text{eq}}) \approx 2.34 \times 10^4 \Omega_{\text{eq}} h^2 \rightarrow \Omega(t_p) \approx 1 + (\Omega_0^{-1} - 1) \cdot 10^{-60}$$

$$\rightarrow (\Omega^{-1} - 1) \approx (\Omega_0^{-1} - 1) \cdot \left(\frac{T_{\text{Pl}}}{T} \right)^2 \cdot 10^{-60} (\Omega_{\text{eq}} h^2)$$

$$\text{Pertanto, visto che } |\Omega_0 - 1| < 10^{-2} \rightarrow |\Omega - 1|_{t_{\text{Pl}}} < 10^{-62}; \quad \text{(10^62)}$$

quindi se oggi c'è anche una piccola deviazione di Ω_0 da 1, a tempi primordiali Ω deve essere determinato ad essere vicino ad 1 con una precisione di una parte su 10^{62} (almeno), senza essere esattamente 1 (problema di "fine-tuning").

Qui abbiamo scelto $t = t_{\text{Pl}}$, ma se anche scegliessimo $t = t_{\text{materia intesa}} \quad (\text{T}_N \approx 1 \text{ MeV})$ otterremmo in ogni caso $|\Omega - 1|_{t_{\text{mater.}}} < 10^{-18}$.

Calcolo del n°. e-folds necessario per risolvere il problema (13)

$$(\Omega_i^{-1} - 1) \frac{g_0 a_i^2}{f_{iai}^2} = (\Omega_0^{-1} - 1) \frac{g_0 a_0^2}{f_{ia0}^2} \quad \text{della piattaforma}$$

$\frac{1 - \Omega_i^{-1}}{1 - \Omega_0^{-1}} \geq 1$: condizione per risolvere il problema della piattaforma.

$$(\Omega_i^{-1} - 1) = (\Omega_0^{-1} - 1) \frac{f_{ia0}^2}{f_{iai}^2} = (\Omega_0^{-1}) \frac{f_{ia0}^2}{f_{iai}^2} \frac{f_{eq} a_0^2}{f_{eq} a_i^2} \frac{f_{af}^2}{f_{ai}^2}$$

In tutta generalità:

$$\frac{f_{af}^2}{f_{ai}^2} \sim \left(\frac{a_f}{a_i} \right)^{-3(1+w_{inf})}$$

e consideriamo i periodi:

$$g_{inf} \propto a^{-3(1+w_{inf})}; w_{inf} < -\frac{1}{3}$$

$$[t_f, t_{eq}] \cdot g^2 a^{-4}$$

$$[t_{eq}, t_0] \cdot g^2 a^{-3}$$

$$\left(\frac{a_f}{a_i} \right)^{-3(1+w_{inf})} = \frac{\Omega_i^{-1}}{\Omega_0^{-1}} \cdot X$$

$$X = \frac{a_0}{a_{eq}} \left(\frac{a_i}{a_{eq}} \right)^2 \left(\frac{a_{eq}}{a_f} \right)^2 = \frac{a_0 a_{eq}}{a_f^2} = (1 + \tau_{eq}) \left(\frac{T_f}{T_0} \right)^2 = (1 + \tau_{eq}) \underbrace{\left(\frac{T_f}{T_0} \right)}_{\approx 10^{60}} \left(\frac{T_f}{T_{Pl}} \right)^2$$

$$N \geq \frac{\ln(X)}{|1+3w_{inf}|} = \frac{60 \left[2.3 + \frac{1}{30} \ln \left(\frac{T_f}{T_{Pl}} \right) \right]}{|1+3w_{inf}|}$$

$$\text{se } w_{inf} \approx -1 \text{ e } 10^5 \leq \frac{T_f}{T_{Pl}} \leq 1 \rightarrow N \geq 60 \div 70.$$

$$N_{\min} \in (60 \div 70)$$

Predittione dei modelli inflazionari
per le parametri di densità oggi Ω_0

(14)

$$N \geq N_{\min}$$

$$N = p \cdot N_{\min} \quad p > 1$$

relazione tra $(\Omega_0^{-1}-1)$ e $(\Omega_i^{-1}-1)$: dal calcolo di prima

$$\left(\frac{a_i}{a_0} \right)^{-\frac{1}{(1+3W_{\text{inf}})}} \sim \frac{(1-\Omega_i^{-1})}{(1-\Omega_0^{-1})} \cdot X \sim \frac{(1-\Omega_i^{-1})}{(1-\Omega_0^{-1})} e^{\frac{N_{\min}|1+3W_{\text{inf}}|}{l}}$$

$$N_{\min} = \frac{\log X}{|1+3W_{\text{inf}}|}$$

$$\rightarrow e^{\frac{pN_{\min}|1+3W_{\text{inf}}|}{l}} \sim \left(\frac{1-\Omega_i^{-1}}{1-\Omega_0^{-1}} \right) \cdot e^{\frac{N_{\min}|1+3W_{\text{inf}}|}{l}}$$

$$\rightarrow (\Omega_0^{-1}-1) \sim \frac{\Omega_i^{-1}-1}{\exp \left[(p-1)N_{\min}|1+3W_{\text{inf}}| \right]} \sim \underbrace{(\Omega_i^{-1}-1)}_{\sim 1}^{10} - [60 + \ln \left(\frac{l}{T_P} \right)]$$

se prendo per esempio $p=2$ e
 $W_{\text{inf}} \approx -1$

(15)

Poiché durante l'inflessione $H \approx \text{const.} \rightarrow$

$$|\Omega - 1| \propto \frac{1}{a^2 H^2} \propto \frac{1}{a^2}$$

$$\frac{|\Omega - 1|_{t_f}}{|\Omega - 1|_{t_i}} \sim \left(\frac{a_i}{a_f} \right)^2 = e^{-2N}$$

Prendo $|\Omega - 1|_{t_f} \sim 1$.

Ricordando che oggi $|\Omega_0 - 1| < 10^{-2}$ e che $\Omega(t_{p1}) \approx 1 + (\Omega_0 - 1) \times 10^{-60}$, chiediamo che $|\Omega - 1|_{t_{p1}} < 10^{-62}$

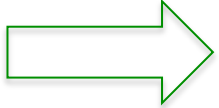
Se prendo $|\Omega - 1|_{t_f} \sim |\Omega - 1|_{t_{p1}} \Rightarrow$ devo richiedere $\boxed{N \gtrsim 70}$

Il calcolo qui sopra è un altro modo di vedere se il n. di e-folds necessari per risolvere il problema della finezza (più approssimato e veloce di quello a pag. 13). Mette in evidenza il carattere di soluzione attrattore dell'inflessione verso quelle condizioni iniziali che altrimenti, nell'ambito del modello del Big-Bang caldo, apparirebbero come estremamente peculiari.

A huge expansion

Take a region of size $\lambda_H = 1/H_{\text{infl}}$ at the beginning of inflation:

$$\text{number of e-foldings } N = \ln(a_f/a_i) = \int_{t_i}^{t_f} H dt \geq 60$$



Since $\lambda_H \propto a(t)$, it gets inflated by $\frac{a_f}{a_i} \geq e^{60} \simeq 10^{26}$!!!

